

## طراحی لرزه‌ای ترکیبی بر مبنای نیرو و تغییر مکان برای قاب‌های فولادی با مهاربند واگرا\*

(یادداشت پژوهشی)

امین صادقی زاده<sup>(۱)</sup>جلال اکبری<sup>(۲)</sup>

**چکیده** در این مقاله یک روش طراحی لرزه‌ای بر مبنای عملکرد با عنوان روش طراحی لرزه‌ای ترکیبی به کار گرفته شده است که ترکیبی از نقاط قوت روش‌های طراحی بر مبنای نیرو و طراحی بر مبنای تغییر مکان است. این روش با تبدیل حداکثر جابه‌جایی نسبی درون طبقه و شکل‌پذیری به تغییر مکان بام آغاز می‌شود و در نهایت برای ضریب شکل‌پذیری و ضریب رفتار عباراتی را پیشنهاد می‌دهد. در این تحقیق روش طراحی ترکیبی برای قاب‌های فولادی مهاربندی واگرا مورد بررسی قرار گرفته است و به همین منظور، ۶۰ مدل قاب مهاربندی فولادی واگرای مختلف که دارای تنوع در تعداد طبقه، تعداد دهانه، عرض دهانه، نوع مهاربندها و دیگر پارامترها هستند، مورد تحلیل استاتیکی غیرخطی قرار گرفته‌اند و در نهایت توسط تحلیل رگرسیون غیرخطی چندمتغیره، یک فرمولاسیون برای ضرایب رفتار و شکل‌پذیری ارائه شده است. فرمولاسیون‌های به دست آمده تأثیر پارامترهای سازه‌ای مانند نوع سیستم مهار جانبی، ضریب زلزله، لاغری مهاربندها، نوع مهاربندها، شدت لرزه‌خیزی، تعداد طبقات، تعداد و عرض دهانه‌ها و عوامل دیگر را در برآورد ضریب رفتار و شکل‌پذیری در نظر می‌گیرند. نتایج به دست آمده از روش ترکیبی در مقایسه با روش‌های دیگر، نشان از دقت این روش در تخمین حداکثر جابه‌جایی بام و برش پایه سازه دارد و نیز منجر به اقتصادی‌تر شدن سازه می‌شود.

**واژه‌های کلیدی** روش طراحی لرزه‌ای بر مبنای عملکرد، قاب‌های فولادی واگرا، شکل‌پذیری، ضریب رفتار.

## Hybrid Force-Displacement based Seismic Design Method for Eccentrically Braced Steel Frames

A. Sadeghizadeh

J. Akbari

**Abstract** In this paper, performance-based seismic design method for eccentrically braced frames is implemented. This method combines the advantages of the force based, and the displacement based design methods "so called" hybrid force-displacement design method (HFD). The applied method transforms the maximum inter-story drift and local ductility into target roof displacement and then for ductility and strength reduction factor, proposes several formulas. For this purpose, sixty eccentrically braced steel frames with different number of: stories, bay widths, number of spans, various bracing dimensions, etc.. were analyzed using nonlinear static analysis method (Push Over Analysis). Then, nonlinear multiple-parameter regression model was utilized for proposing the formulas for the strength reduction factor and ductility. Lateral loading system type, earthquake level, slenderness of braces, intensity of earthquake, number of roofs and bays were influenced the obtained formulas. The obtained results in compare with force based, and direct displacement based methods show that the seismic responses such as roof displacement and base shear have reliable accuracies. Furthermore, the results indicate that in compare with force-based and displacement based design methods, the members of designed frames using the hybrid method are economical

**Key Words** Performance-Based Design, Steel Frames, Ductility, Hybrid, Eccentrically Braced Frame.

\* تاریخ دریافت مقاله ۹۳/۷/۲۲ و تاریخ پذیرش آن ۹۵/۷/۱۴ می‌باشد.

(۱) دانش‌آموخته کارشناس ارشد سازه، دانشگاه ملایر.

(۲) نویسنده مسئول: استادیار، گروه مهندسی عمران، دانشگاه ملایر.

### مقدمه

واضح در این روش سطح عملکرد یا وضعیت حدی یا شدت زلزله مشخص نشده است [3]. در واقع روش FBD یک روش تقریبی است که تنها از دو تراز عملکرد که وضعیت حد نهایی (Ultimate Limit State) و وضعیت حد خرابی (Damage Limit State) و برای دو شدت زلزله، یکی دوره ۴۷۵ ساله و دیگری ۹۵ ساله است، استفاده می‌کند. نیروی زلزله الاستیک وارد بر سازه ابتدا از طریق طیف‌های طراحی شتاب محاسبه می‌شوند و در آخر کار این نیروها بر ضریب رفتار تقسیم می‌شوند تا به‌طور تقریبی ظرفیت شکل‌پذیری سازه را نشان دهند. سپس نیروهای کاهش یافته در ارتفاع سازه توزیع می‌شوند و تحلیل الاستیک انجام می‌گیرد تا پاسخ سازه به دست آید [4]. بر اساس تحقیقات کاراواسیلیس و همکاران [5-6]، روش FBD معمولاً جابه‌جایی‌های غیرالاستیک را بیشتر از مقدار واقعی تخمین می‌زند. هم‌چنین این روش پروفیل حداکثر جابه‌جایی و جابه‌جایی نسبی درون طبقه‌ای را ثابت در نظر می‌گیرد که در واقعیت نادرست است.

### روش طراحی بر مبنای جابه‌جایی (DDBD)

روش طراحی لرزه‌ای بر مبنای جابه‌جایی، جابه‌جایی را به‌عنوان پارامتر اصلی مسئله در نظر می‌گیرد و بدین وسیله طراح قادر است خرابی لرزه‌ای را بهتر کنترل کند [7]. از اوایل دهه ۹۰ این روش برای رسیدن به سطح خسارت قابل قبولی از زلزله طرح شد و مورد استفاده قرار گرفت [8]. در این روش یک سطح عملکردی انتخاب می‌شود و سازه به‌گونه‌ای طراحی می‌گردد که شرایط این سطح عملکرد را ارضا کند. سطح عملکرد به جابه‌جایی‌های متناظر در سازه تبدیل می‌شود و نیروهای طراحی متناسب با این جابه‌جایی‌ها به دست می‌آیند. سپس با انتخاب روش تحلیل مناسب، نیروهای طراحی اعضا به دست می‌آیند؛ بنابراین، این روش با تحلیل شروع و به طراحی ختم می‌شود [8]. در دو دهه گذشته محققان زیادی روش‌هایی برای طراحی

طراحی بر اساس عملکرد، بین ویژگی‌های یک سازه که تأثیر مهمی در عملکرد سازه دارند، ارتباط برقرار می‌کند. این ویژگی‌ها شامل تعداد طبقات، سیستم مقاوم جانبی (قاب خمشی، قاب مهاربندی یا قاب کمانش‌ناپذیر)، وجود نامنظمی و غیره است. یک هدف عملکردی، مشخص‌کننده سطح عملکرد مطلوب ساختمان در هر سطحی از زلزله طراحی است که انتظار می‌رود سازه تحت زلزله با شدت مشخص به این سطوح برسد یا حداقل از آن تجاوز نکند. ضریب اهمیت در آئین‌نامه‌های کنونی تنها یک معیار کیفی برای اهداف عملکردی است و هیچ‌گونه برآورد کمی از سطوح عملکرد سازه را نشان نمی‌دهد [1]. با توجه به نقایص موجود در روش‌های قدیمی، ضرورت طرح روشی که تا حد ممکن این عیوب را برطرف نماید، وجود دارد. طراحی ترکیبی بر مبنای نیرو و تغییر مکان (Hybrid force Displacement Based Design (HFD)) به‌نوعی ترکیبی از محاسن روش طراحی لرزه‌ای بر مبنای نیرو (Force Based Design (FBD)) و طراحی بر مبنای جابه‌جایی (Direct Displacement Based Design (DDBD)) است. روش HFD تاکنون توسط محققان برای قاب‌های خمشی فولادی، قاب مهاربندی هم‌گرای شورون و قاب مهاربندی X مورد مطالعه قرار گرفته است و به نتایج مطلوبی رسیده است [2]. در این مقاله به بررسی رفتار لرزه‌ای قاب مهاربندی فولادی و اگر پرداخته شده است و توسط روش HFD یک فرمولاسیون کلی برای شکل‌پذیری و ضریب رفتار قاب‌های فولادی و اگر با در نظر گرفتن عوامل سازه‌ای مؤثر بر این ضرایب، ارائه شده است که تا حدی عیوب روش‌های قبل را برطرف می‌نماید.

### روش طراحی بر مبنای نیرو (FBD)

روش قدیمی طراحی لرزه‌ای ساختمان‌ها، روش طراحی بر مبنای نیروست. در آیین‌نامه EC8 به صورت

جابه‌جایی نسبی داخل طبقه ( Inter storey Drift Ratio ) (IDR) و شکل‌پذیری به جابه‌جایی بام تبدیل می‌شوند و سپس ضریب رفتار متناظر با جابه‌جایی بام محاسبه می‌شود و در نهایت با ضریب رفتار جدید، سازه بازطراحی می‌شود [2].

### گام‌های روش HFD

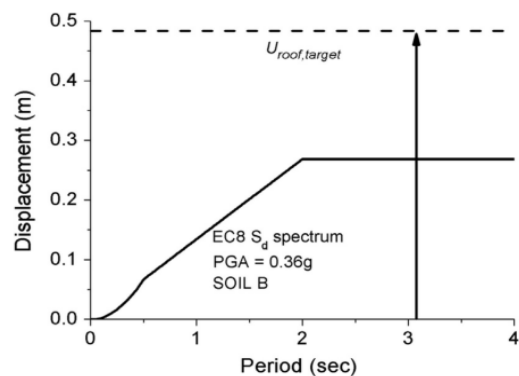
گام‌های اساسی روش HFD به صورت زیر است:

۱. معرفی خصوصیات اولیه سازه شامل: نوع قاب، تعداد طبقه ( $n_s$ )، تعداد دهانه ( $n_b$ )، عرض دهانه و ارتفاع طبقات.
۲. معرفی سطح عملکرد: به عنوان مثال استفاده بی‌وقفه (IO) تحت وقوع زلزله مکرر (FOE)، ایمنی جانبی (LS) تحت زلزله طرح (DBE) و یا جلوگیری از فروریزش (CP) تحت حداکثر زلزله محتمل (MCE).
۳. تعریف پارامترهای ورودی (سطوح عملکرد): معیار عملکرد شامل تعریف مقدار مجاز حداکثر جابه‌جایی نسبی داخل طبقه ( $IDR_{max}$ ) و حداکثر شکل‌پذیری محلی.
۴. تخمین متغیرهای ورودی (جابه‌جایی تسلیم بام و مشخصات مکانیکی): پیروی اصلی ارتعاش (T)، لاغری مهاربند ( $\lambda$ ) و ضریب  $a$  (سهم ستون‌ها نسبت به اعضای قطری در سختی طبقه) به صورت رابطه (۱) محاسبه می‌شوند:

$$\left\{ \begin{array}{l} \lambda = \frac{1}{\pi r} \sqrt{\frac{F_y}{E}} \\ a = \frac{n_c \cdot I_c \cdot L_d}{n_d \cdot A_d \cdot h^3 \cdot \cos^2 \theta} \end{array} \right. \quad (1)$$

در رابطه (۱)،  $r$  طول کمانش (برحسب cm)، شعاع ژیراسیون (برحسب cm)،  $n_c$ ،  $n_d$  تعداد ستون‌ها و اعضای قطری در طبقه،  $A_d$  سطح مقطع مهاربند (برحسب  $cm^2$ ) و  $L_d$  طول مهاربند (برحسب cm)،  $I_d$  ممان اینرسی ستون (برحسب  $cm^4$ )،  $h$  ارتفاع طبقه (برحسب cm)،  $\theta$  زاویه بین مهاربند و تیر است و نیز

بر مبنای تغییر مکان ارائه داده‌اند که از مهم‌ترین آنها روش طراحی مستقیم مبتنی بر تغییر مکان است که توسط پریستلی معرفی و توسعه داده شده است [9]. ایراد اصلی روش DDBD این است که سازه واقعی با یک سیستم یک درجه آزادی جایگزین شده است که نشانگر کاهش دقت این روش است. هم‌چنین در برخی از حالات، طیف جابه‌جایی برای ارزیابی پیروی مؤثر سیستم یک درجه آزادی سازگار نیست. به عنوان مثال در شکل (۱) که مربوط به طیف جابه‌جایی برای یک قاب خمشی فولادی دوبعدی که دارای ۶ طبقه و ۳ دهانه است، پیروی مؤثر برای جابه‌جایی حداکثر بام حاصل نمی‌شود، بنابراین روش DDBD قادر به طراحی این قاب نیست [9].



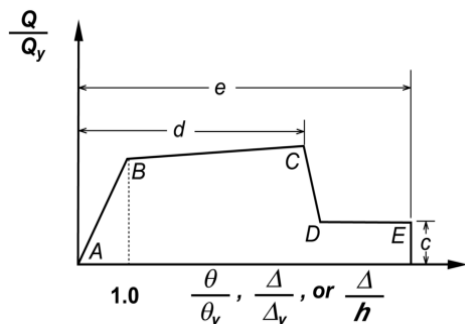
شکل ۱ نمودار جابه‌جایی در برابر زمان تناوب برای قاب ۶ طبقه [9]

### روش طراحی لرزه‌ای ترکیبی بر مبنای نیرو و تغییر مکان (HFD)

در این مقاله روش طراحی لرزه‌ای ترکیبی بر مبنای نیرو و تغییر مکان برای قاب‌های فلزی با مهاربندی واگرا ارائه شده است. روش ترکیبی (HFD) در واقع بر اساس محاسن روش‌های طراحی بر مبنای نیرو و تغییر مکان ارائه شده است. فایده اصلی این روش این است که عملکرد هدف مورد نظر برای بیشتر از یک زمین‌لرزه به دست می‌آید. در گام اول روش HFD، ضریب

از رابطه (۷) محاسبه می‌شود.

$$R = 1 + 0.86(\mu_d - 1)^{0.62} \cdot n_s^{0.34} \cdot \lambda^{0.7} \cdot \alpha^{-0.1} \cdot (T)^{0.24} \quad (۷)$$



شکل ۲ شکل‌پذیری محلی [10]

با ضریب رفتار جدید قاب بازطراحی می‌شود و پارامترهای سازه‌ای مجدداً محاسبه می‌شوند. این سعی و خطا تا جایی ادامه می‌یابد که دیگر مقاطع تحت ضریب رفتار جدید تغییری نکنند. کاراواسیلیس و همکاران [2] با تحلیل روی داده‌های مختلف با در نظر گرفتن اثر پارامترهای سازه‌ای روی قاب، رابطه‌ای بین ضریب رفتار (R) و شکل‌پذیری ( $\mu$ ) و ضریب  $\beta$  که نسبت بین حداکثر جابه‌جایی طبقه و حداکثر جابه‌جایی نسبی درون طبقه‌ای است، برای قاب‌های مختلف فولادی از جمله قاب خمشی فولادی، قاب مهاربندی ضربدری و قاب مهاربندی شورون ارائه داده‌اند. این روابط بر اساس تحلیل رگرسیون غیرخطی ارائه شده‌است. نتایج حاصل از مطالعات کاراواسیلیس و همکاران برای قاب مهاربندی ضربدری به صورت رابطه (۸) است [5-6]:

$$\left\{ \begin{array}{l} R = 1 + 0.86(\mu - 1)^{0.62} \cdot n_s^{0.34} \cdot \lambda^{0.4} \cdot a^{-0.1} \cdot T^{0.24} \\ \beta = 1 - 0.12(n_s - 1)^{0.31} \cdot \lambda^{-0.11} \cdot a^{-0.21} \cdot T^{0.14} \\ \mu = 1 + 1.51(\mu_{cb} - 1)^{0.73} \cdot n_s^{-0.18} \cdot \lambda^{1.9} \cdot T^{0.28} \end{array} \right. \quad (۸)$$

کاراواسیلیس و همکاران [4] سه روش طراحی FBD، DDBD و HFD را مورد مقایسه قرار داده‌است. در این مطالعه سه نوع قاب خمشی در نظر گرفته شده‌است،

ضریب سختی تیر نسبت به ستون به صورت  $\rho = \frac{\sum (I_{Beam}^3)}{\sum (I_{Column}^3)}$  است.

۵. در گام بعدی معیارهای عملکردی IDR و  $\mu$  به تغییر مکان بام هدف تبدیل می‌شود. این تبدیل از طریق رابطه (۲) صورت می‌پذیرد.

$$u_{r\max}(\text{IDR}) = \beta \cdot \text{IDR}_{\max} \cdot H \quad (۲)$$

در رابطه (۲)، H ارتفاع کل سازه بر حسب متر و  $\beta$  ضریبی وابسته به خصوصیات سازه است و برای قاب‌های مهاربندی همگرا به صورت رابطه (۳) محاسبه می‌شود.

$$\beta = 1 - 0.12(n_s - 1)^{0.31} \cdot \lambda^{-0.11} \cdot \alpha^{-0.21} \cdot (T)^{0.14} \quad (۳)$$

تبدیل ضریب شکل‌پذیری به جابه‌جایی هدف به صورت  $u_{r\max}(\mu) = \mu \cdot u_{ry}$  است. در این رابطه،  $\mu$  شکل‌پذیری بام است که متناظر است با شکل‌پذیری محلی و برای قاب مهاربند همگرا [5] از رابطه (۴) به دست می‌آید.

$$\mu = 1 + 1.51(\mu_{cb} - 1)^{0.73} \cdot n_s^{-0.18} \cdot \lambda^{0.9} \cdot (T)^{0.28} \quad (۴)$$

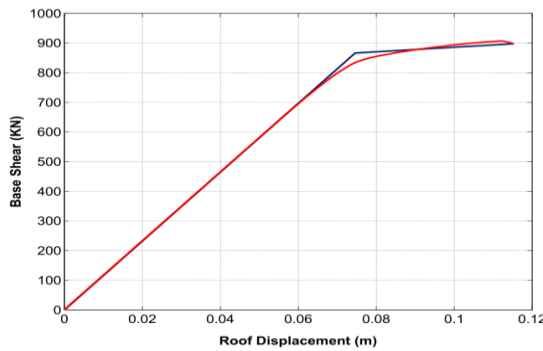
شکل‌پذیری  $\mu_{cb}$  همان‌طور که در شکل (۲) نشان داده شده‌است، در واقع نسبت شکل‌پذیری تیر پیوند در ناحیه پلاستیک (BC) به ناحیه الاستیک (AB) است. بر اساس FEMA356 [10] برای تیرهای پیوند خمشی مقدار شکل‌پذیری محلی مانند تیر قاب‌های خمشی برابر با ۹ (برای سطح عملکرد CP) در نظر گرفته می‌شود؛ بنابراین برای تمامی قاب‌ها در این پژوهش مقدار شکل‌پذیری محلی مقدار ثابت ۹ در نظر گرفته شده‌است. طبق رابطه (۵) تغییر مکان هدف بام  $u_{r\max}(d)$  نیز کمترین مقدار بین  $u_{r\max}(\text{IDR})$  و  $u_{r\max}(\mu)$  است.

$$u_{r\max}(d) = \min[u_{r\max}(\text{IDR}), u_{r\max}(\mu)] \quad (۵)$$

در گام بعد نوبت به محاسبه ضریب رفتار می‌رسد، به همین منظور مقدار شکل‌پذیری طراحی بر اساس رابطه (۶) محاسبه می‌شود.

$$\mu_d = \frac{u_{r\max}(d)}{u_{ry}} \quad (۶)$$

سپس ضریب رفتار مورد نیاز برای سیستم همگرا



شکل ۳ منحنی دوخطی ظرفیت برای مدل ۶ طبقه

### نتایج تحلیل بار افزون

توسط نمودارهای دوخطی، حداکثر جابه‌جایی بام و جابه‌جایی تسلیم به صورت جدول (۱) برای برخی از مدل‌ها ارائه شده است. در جدول (۱)،  $V_u$  و  $V_y$  به ترتیب برش نهایی و برش تسلیم می‌باشند و  $u_{rmax}$  و  $u_{ry}$  جابه‌جایی‌های متناظر با این نیروها می‌باشند. همچنین، در نام‌گذاری مدل‌ها عدد جلوی  $F$  تعداد طبقه، عدد جلوی  $S$  تعداد دهانه، عدد جلوی  $W$  عرض دهانه و حروف  $D$  و  $I$  به ترتیب نشان‌دهندهٔ دوپل بودن و تک بودن مهاربندهای واگرا است.

جدول ۱ نتایج حاصل از نرم‌افزار MATLAB

مدل‌ها	$V_u$ (KN)	$V_y$ (KN)	$u_{rmax}$ (m)	$u_{ry}$ (m)
F6S3W4D	۷۰۰	۶۲۰	۰/۲۳	۰/۱۳
F9S3W4D	۷۹۰	۶۵۵	۰/۲۸	۰/۱۶
F8S5W4D	۹۵۰	۸۴۰	۰/۲۷	۰/۱۵
F12S5W4D	۱۱۲۰	۱۰۹۰	۰/۵۶	۰/۳۰
F4S4W4I	۶۰۰	۴۳۰	۰/۰۸	۰/۰۴
F9S4W4I	۹۸۰	۹۲۵	۰/۴۰	۰/۱۸
F6S7W4I	۱۴۵۵	۱۳۰۰	۰/۱۶	۰/۱
F12S7W4I	۲۰۴۰	۱۹۸۰	۰/۵۵	۰/۳
F6S3W6D	۹۳۰	۸۶۵	۰/۱۱	۰/۰۷
F9S3W6D	۱۳۱۰	۱۲۸۵	۰/۲۷	۰/۱۴
F8S5W6D	۱۷۶۵	۱۶۶۰	۰/۲۸	۰/۱۳
F12S5W6D	۲۲۵۶	۲۰۱۰	۰/۵۰	۰/۲۰

قاب I دارای ۳ طبقه و ۲ دهانه، قاب II دارای ۶ طبقه و ۳ دهانه و قاب III هم دارای ۹ طبقه و ۴ دهانه است. با مقایسه نتایج به دست آمده، بازس این گونه نتیجه‌گیری کرد که روش HFD در تخمین  $u_{rmax}$  و  $IDR_{max}$  دقت بیشتری دارد و نسبت به روش‌های دیگر اقتصادی‌تر است.

### روش HFD برای قاب‌های فولادی واگرا

به منظور توسعهٔ فرمولاسیون ذکر شده، برای قاب‌های مهاربندی واگرا، مجموعه‌ای از ۶۰ مدل قاب دوبعدی واگرا مورد تحلیل و طراحی قرار گرفته است. در این مدل‌ها سعی شده است با تنوع دادن در ضریب زلزله، تعداد طبقات، تعداد دهانه‌ها، عرض دهانه‌ها، نوع مهاربند و محل قرارگیری مهاربندها، اکثر عوامل مؤثر در ضریب رفتار در نظر گرفته شود. این قاب‌ها در ۴، ۶، ۸، ۹ و ۱۲ طبقه در محیط نرم‌افزار [11] ETABS ایجاد شده‌اند. عرض دهانه‌ها ۴ و ۶ متر است و تعداد دهانه‌ها ۳، ۴، ۵ و ۷ است. مهاربندهای واگرا از دو نوع دوپل و تک می‌باشند. خاک محل ساختمان از نوع II، خطر زلزله از نوع شدید، ساختمان شامل گروه ساختمان‌های با اهمیت متوسط و با ضریب رفتار ۷ است. به منظور تحلیل استاتیکی و دینامیکی غیرخطی نرم‌افزار المان محدود [12] SEISMOSTRUCT مورد استفاده قرار گرفته است. با تحلیل بار افزون مدل‌ها، منحنی ظرفیت که نشان‌دهندهٔ برش پایه برحسب تغییر مکان است، حاصل می‌شود. به کمک برنامهٔ نوشته شده در محیط MATLAB [13]، منحنی ظرفیت دوخطی برای هر مدل به طور مجزا به دست آمده است. شکل (۳) نمودار دوخطی مدل ۶ طبقه با ۳ دهانه و عرض دهانه ۶ متر است. برای مدل شکل (۳)، زمان تناوب برابر با ۰/۵۷ ثانیه، ضریب شکل‌پذیری ۱/۴۷ و ضریب رفتار ۷/۶ است.

$$b = [X^t \cdot X]^{-1} \cdot [X^t \cdot Y] \quad (12)$$

رابطه (۱۲) یک رابطه شناخته شده برای به دست آوردن ضرایب مدل رگرسیون غیرخطی چندمتغیره است.

### محاسبه ضرایب مورد نیاز برای رگرسیون

پیش از به دست آوردن ضرایب رفتار و ضریب شکل پذیری، ضرایب اصلی در روش HFD بایستی محاسبه شوند. این ضرایب اصلی و شرح آنها در جدول (۲) نشان داده شده است.

برای تمامی ۶۰ مدل بیش از ۲۰ پارامتر سازه‌ای (از جمله پارامترهای جدول ۲) در نرم افزار EXCEL به صورت بانک اطلاعاتی محاسبه و گردآوری شده است. به صورت نمونه مقادیر پارامترهای اصلی برای چند مدل انتخابی در جدول (۳) آورده شده است. با انجام محاسبات مورد نیاز مربوط به روش حداقل مربعات، این بانک اطلاعاتی به نرم افزار MATLAB برای تحلیل رگرسیون غیرخطی چندمتغیره معرفی شده است. فرم غیرخطی روابط رگرسیون نشان از دقیق تر بودن آنها برای تخمین ضرایب است. هم چنین این روابط غیرخطی با مثال‌های دیگری مورد کنترل قرار گرفته است که نتایج قابل قبولی را به دنبال داشته است.

جدول ۲ پارامترهای اصلی روش HFD

$a = n_c \cdot I_c \cdot I_d / n_d \cdot A_d \cdot h^3 \cdot \cos^2 \theta$	نسبت سختی ستون‌ها به مهاربندها در طبقه میانی
$\rho = \frac{\sum L_{Beam}^I}{\sum L_{Column}^I}$	نسبت ممان اینرسی به طول تیرها نسبت به ستون‌ها
$\beta = u_{rmax} / H \cdot IDR_{max}$	نسبت حداکثر جابه‌جایی بام به حداکثر جابه‌جایی نسبی طبقه
$\lambda = \frac{1}{\pi r} \sqrt{\frac{E}{F_y}}$	ضریب لاغری مهاربندها در طبقه میانی
$\mu_{cb} = 0.75(2.4 + 8.3\lambda)$	ضریب شکل پذیری محلی

### رگرسیون غیرخطی چندمتغیره

فرم کلی رابطه هدف برای ضریب رفتار و ضریب شکل پذیری به صورت رابطه (۹) در نظر گرفته شده است:

$$Y = X_1^\alpha \cdot X_2^\beta \cdot X_3^\gamma \cdot X_4^\lambda \dots X_n^\lambda \quad (9)$$

به منظور حل رگرسیون چندمتغیره غیرخطی، از روابط جبری [14] استفاده می‌شود. در روش جبری برای هر متغیر رگرسور  $X_i$ ،  $n$  دستگاه معادلات باید تشکیل شود. شکل کلی مدل رگرسیون ماتریسی به صورت روابط (۱۰) و (۱۱) است:

$$Y = X \cdot b + \varepsilon \quad (10)$$

$$\begin{bmatrix} Y_1 \\ Y_2 \\ Y_3 \\ \vdots \\ Y_n \end{bmatrix} = \begin{bmatrix} 1 \\ 1 \\ 1 \\ \vdots \\ 1 \end{bmatrix} \begin{bmatrix} X_{11} & X_{21} & \dots & X_{m1} \\ X_{12} & X_{22} & \dots & X_{m2} \\ X_{13} & X_{23} & \dots & X_{m3} \\ \vdots & \vdots & \dots & \vdots \\ X_{1n} & X_{2n} & \dots & X_{mn} \end{bmatrix} \begin{bmatrix} b_0 \\ b_1 \\ b_2 \\ \vdots \\ b_n \end{bmatrix} + \begin{bmatrix} \varepsilon_1 \\ \varepsilon_2 \\ \varepsilon_3 \\ \vdots \\ \varepsilon_n \end{bmatrix} \quad (11)$$

$Y$  یک بردار به بزرگی  $(n \times 1)$  است.  $X$  یک ماتریس  $(m \times n)$  است که در آن  $X_{ij}$ ،  $i$  امین متغیر رگرسور در  $m$  دستگاه معادلات است. بردار  $b$  با اندازه  $(m \times 1)$  شامل ضرایب ماتریس است که جزء مجهولات است.  $\varepsilon$  نیز برداری به اندازه  $(n \times 1)$  است که خطای باقی مانده است. بردار مجهول معادله رگرسیون در نهایت بر اساس روش حداقل مربعات به صورت رابطه (۱۲) به دست می‌آید.

جدول ۳ مقادیر پارامترهای سازه‌ای برای مدل‌های نمونه

مدل‌ها	a	$\rho$	$\mu$	$\mu_{cb}$	$\beta$	R
F6S3W4D	۰/۰۰۲	۰/۶۴	۱/۷۳	۹/۴۳	۰/۹۴	۵/۳
F9S3W4D	۰/۰۰۲	۰/۲۵	۱/۸	۸/۶۳	۰/۸۵	۶/۴
F8S5W4D	۰/۰۰۳	۰/۲۲	۱/۷۴	۸/۶۳	۰/۸۶	۵/۴
F12S5W4D	۰/۰۰۶	۰/۱۲	۱/۸۳	۸/۲	۰/۷۴	۶/۲
F4S4W4I	۰/۰۰۱	۰/۱۱	۱/۷۵	۹/۶۵	۱/۰۴	۶/۱
F9S4W4I	۰/۰۱۹	۰/۰۷	۲/۲۲	۹/۷۳	۰/۸	۷/۵
F6S7W4I	۰/۰۰۲	۰/۰۹	۱/۶۳	۹/۷۳	۰/۸۵	۵/۵
F12S7W4I	۰/۰۴۱	۰/۰۳	۱/۸۳	۱۰/۱۲	۰/۷۳	۶/۶
F6S3W6D	۰/۰۰۲	۰/۳۶	۱/۴۷	۹/۴۴	۱/۱۸	۷/۶
F9S3W6D	۰/۰۰۳	۰/۲	۱/۹۳	۹/۶۴	۰/۹۸	۹/۴
F8S5W6D	۰/۰۰۲	۰/۳۲	۲/۱۲	۹/۸۵	۰/۸۹	۷/۵
F12S5W6D	۰/۰۰۳	۰/۱۲	۲/۵	۹/۱۵	۰/۸۴	۸/۴
F4S4W6I	۰/۰۱۲	۰/۱۳	۱/۷۵	۹/۰۵	۱/۲۲	۶/۰

جدول ۴ مقادیر ضریب رفتار و ضریب شکل پذیری در روش HFD

مدل‌ها	$n_F$	$n_S$	$\mu$	T(s)	$\mu_{HFD}$	$R_{HFD}$
F6S3W4D	۶	۳	۱/۷	۰/۳۱	۱/۸	۴/۸
F9S3W4D	۹	۳	۱/۸	۰/۹۶	۱/۹	۵/۹
F8S5W4D	۸	۵	۱/۷	۰/۹۶	۱/۸	۵/۸
F12S5W4D	۱۲	۵	۱/۸	۱/۳	۲	۶/۴
F4S4W4I	۴	۴	۱/۸	۰/۴۵	۱/۸	۶/۵
F9S4W4I	۹	۴	۲/۲	۰/۹۳	۲/۱	۷/۰
F6S7W4I	۶	۷	۱/۶	۰/۶	۱/۷	۷/۹
F12S7W4I	۱۲	۷	۱/۸	۱/۲۶	۱/۸	۹/۱
F6S3W6D	۶	۳	۱/۵	۰/۵۷	۱/۵	۶/۲
F9S3W6D	۹	۳	۱/۹	۰/۸	۱/۹	۷/۰
F8S5W6D	۸	۵	۲/۱	۰/۷۶	۲	۷/۱
F12S5W6D	۱۲	۵	۲/۵	۱/۱۶	۲/۴	۷/۴
F4S4W6I	۴	۴	۱/۷	۰/۴۷	۱/۸	۴/۸

نتایج تحلیل رگرسیون مدل‌ها به صورت رابطه

(۱۳) است.

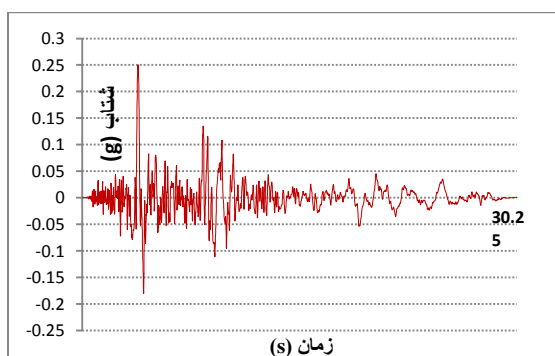
$$\mu = 1 + (\mu_{cb} - 1)^{-0.045} \cdot n_s^{-0.120} \cdot \lambda^{1.881} \cdot a^{-0.084} \cdot \rho^{-0.190} \cdot T^{0.370}$$

$$R = 1 + (\mu_d - 1)^{0.055} \cdot n_s^{-0.005} \cdot \lambda^{1.630} \cdot a^{-0.183} \cdot \rho^{-0.250} \cdot T^{0.020} \quad (13)$$

$$\beta = 1.5 - (n_s - 1)^{0.040} \cdot \lambda^{3.480} \cdot a^{0.040} \cdot \rho^{0.390} \cdot T^{1.820}$$

### محاسبه ضرایب رفتار و شکل پذیری

باتوجه به رابطه (۱۳) که از تحلیل رگرسیون غیرخطی حاصل شده است و با انجام گام به گام محاسبات روش HFD، محاسبه ضرایب شکل پذیری و رفتار میسر می‌شود. در جدول (۴) برای چند مدل، این ضرایب محاسبه شده است. در جدول (۴)  $\mu_{HFD}$  و  $R_{HFD}$  نشان‌دهنده شکل پذیری و ضریب رفتار روش HFD می‌باشند.

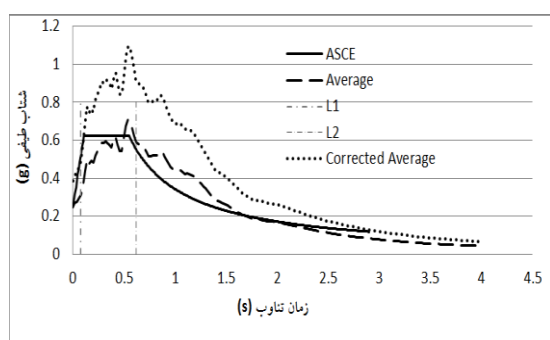


شکل ۵ شتاب‌نگاشت زلزله نورث ریج ایستگاه Sunvalley

به منظور ترسیم طیف شتاب هر یک از هفت رکورد زلزله از نرم افزار سایز موسیگنال [16] استفاده شده است. در شکل (۶) میانگین طیف شتاب مقیاس نشده و مقیاس شده به همراه طیف طرح ASCE-7 آمده است. لازم به ذکر است که بازه مقیاس کردن طیف‌ها در شکل (۶) با خط چین مشخص شده است.

### نتایج تحلیل قاب‌ها

برای ستون‌ها و مهاربندها از مقطع قوطی و برای تیرها از مقطع IPE استفاده شده است. خاک محل ساختمان از نوع II، خطر زلزله از نوع شدید و ساختمان شامل گروه ۸ طبقه و ۳ دهانه و با عرض دهانه ۶ متر است.



شکل ۶ طیف طراحی ASCE به همراه طیف میانگین اصلاح شده و اصلاح نشده

### تحلیل دینامیکی تاریخچه زمانی

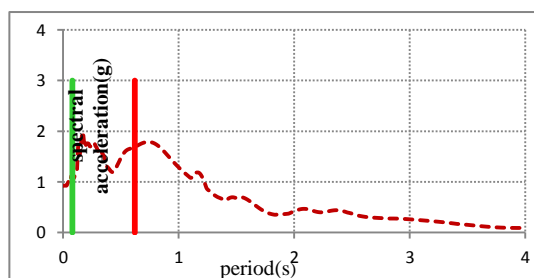
برای مقایسه روش FBD و HFD، دو مدل ۸ طبقه و ۴ طبقه با هر دو روش طراحی شده است. به منظور کنترل نتایج حاصل از دو روش مذکور، از تحلیل دینامیکی تاریخچه زمانی استفاده شده است.

به منظور انجام تحلیل دینامیکی تاریخچه زمانی از هفت رکورد زلزله که مربوط به رخداد های کالیفرنیا است، همان گونه که در جدول (۵) آمده است، استفاده شده است.

جدول ۵ رکوردهای زلزله به همراه ضرایب مقیاس

عنوان رکوردها	PGA	ضریب مقیاس
Lomapieta-bran	۰/۴۵	۱/۴۲
Lomapieta-hall	۰/۲۰	۳
Lomapieta-gillroy	۰/۲۱	۲/۹۰
Northridge-hollywood	۰/۲۵	۳
Northridge-sunvalley	۰/۴۵	۲/۱۰
Northridge-new hall	۰/۵۶	۱/۳۶
Northridge-ladam	۰/۵	۱/۹۵

به منظور کنترل نتایج، از تحلیل دینامیکی غیرخطی تاریخچه زمانی استفاده شده است. بر اساس روش مقیاس کردن آیین نامه ASCE-7 [15] میانگین طیف شتاب‌ها با میرایی ۵٪ در بازه ۰/۲T تا ۱/۵T نباید کمتر از طیف طراحی منطقه باشد. پارامتر T زمان تناوب طبیعی سازه می‌باشد. در اشکال ۴ و ۵ طیف شتاب زلزله نورث ریج و تاریخچه زمانی شتاب‌نگاشت آن نشان داده شده است.



شکل ۴ طیف شتاب زلزله نورث ریج برای میرایی ۵٪



بسیار نزدیک به پارامترهای اولیه است بنابراین مقاطع تغییری نمی کنند و طراحی پایان می یابد. در جدول (۸) نتایج حاصل از روش HFD آورده شده است.

جدول ۸ نتایج روش HFD برای قاب ۸ طبقه

نتایج	$u_{rmax}$	IDR <sub>max</sub>	$V_b$
HFD	۲۱ cm	۰/۹ %	۲۲۱ KN

برای مقایسه، مقادیر به دست آمده از هر دو روش FBD و HFD برای قاب ۸ طبقه در جدول (۹) ارائه شده است.

جدول ۹ مقایسه دو روش HFD و FBD برای قاب ۸ طبقه

پارامترها	$u_{rmax}$	IDR <sub>max</sub>	$V_b$ (kN)
روش FBD	۲۵ cm	۰/۸%	۲۳۰
روش HFD	۲۱ cm	۰/۸%	۲۲۱
تحلیل دینامیکی تاریخچه زمانی	۱۹ cm	۰/۸%	۲۲۳

نتایج جدول (۹) نشان می دهد که روش FBD جابه جایی بام را به صورت بالادستی تخمین می زند و با توجه به نزدیک بودن نتایج روش HFD به تحلیل غیرخطی، این روش مقاطع و برش پایه را با دقت بهتری تخمین می زند. مدل دوم مربوط به قاب ۴ طبقه و ۴ دهانه و با عرض دهانه ۴ متر است. نتایج حاصل از روش FBD به صورت جدول (۱۰) است.

جدول ۱۰ نتایج روش FBD برای قاب ۴ طبقه

نتایج	$u_{rmax}$	IDR <sub>max</sub>	$V_b$
FBD	۱۰ cm	۰/۶%	۸۲ kN

به منظور طراحی قاب ۴ طبقه به روش HFD، مطابق جدول (۱۱) پارامترهای اولیه و ضرایب  $\mu$  و  $\beta$  محاسبه می شوند.

نتایج حاصل از روش FBD برای قاب ۸ طبقه و ۳ دهانه به صورت جدول (۶) است.

جدول ۶ نتایج روش FBD برای قاب ۸ طبقه

نتایج	$u_{rmax}$	IDR <sub>max</sub>	$V_b$
FBD	۲۵ cm	۰/۹%	۲۳۰ KN

به منظور طراحی قاب به روش HFD ابتدا مطابق جدول (۷) پارامترهای اولیه و ضرایب  $\beta$  و  $\mu$  طبق رابطه (۱۳) محاسبه می شوند.

مقدار حداکثر جابه جایی بام با قرار دادن  $IDR_{max}$  برابر با ۰/۹٪ به صورت رابطه (۱۴) محاسبه می شود.

جدول ۷ پارامترهای اولیه روش HFD برای قاب ۸ طبقه

$\lambda$	a	$\rho$	T	$\mu_{cb}$	$\beta$	$\mu$
۱/۲۴	۰/۰۰۱۹	۰/۲۱	۰/۷۳	۹/۵۵	۰/۹۷	۲/۰۳

$$u_{rmax}(IDR) = \beta \cdot IDR_{max} \cdot H = 21 \text{ cm} \quad (14)$$

جابه جایی تسلیم بام برابر  $u_{ry} = 11 \text{ cm}$  و مقدار جابه جایی شکل پذیری به صورت رابطه (۱۵) محاسبه می شود.

$$u_{rmax}(\mu) = \mu \cdot u_{ry} = 22 \text{ cm} \quad (15)$$

بنابراین مقدار حداکثر جابه جایی طراحی نیز به صورت رابطه (۱۶) به دست می آید.

$$u_{rmax}(d) = \min[u_{rmax}(IDR), u_{rmax}(\mu)] = 21 \text{ cm} \quad (16)$$

در نهایت نوبت به محاسبه شکل پذیری تسلیم می رسد که برابر با  $\mu_d = \frac{u_{rmax}(d)}{u_{ry}} = 1/91$  است. با استفاده از رابطه (۱۳) مقدار ضریب رفتار برابر با ۷/۴ به دست می آید. با این ضریب رفتار جدید قاب باز طراحی می شود و مجدداً پارامترهای سازه ای مانند جدول (۷) محاسبه می شوند. مقادیر پارامترهای جدید

جدول ۱۱ پارامترهای اولیه روش HFD برای قاب ۴ طبقه

$\lambda$	a	$\rho$	T	$\mu_{cb}$	$\beta$	$\mu$
۱/۲۳	۰/۰۰۱۱	۰/۸۵	۰/۴۱	۹	۱/۲۰	۱/۶۸

طبق جدول (۱۳) برای مدل ۴ طبقه، مقاطع حاصل از روش HFD بزرگ‌تر از روش FBD به دست می‌آید لیکن مانند مثال قبل روش FBD جابه‌جایی حداکثر بام را به صورت دست بالا تخمین می‌زند و با توجه به نتایج تحلیل غیرخطی، نتایج روش HFD به واقعیت نزدیک‌تر است.

### نتیجه‌گیری

متغیر بودن ضرایب رفتار و شکل‌پذیری به دست آمده از روش HFD نشان می‌دهد که این ضرایب نمی‌توانند برای یک سیستم مقاوم جانبی، ثابت در نظر گرفته شوند و قطعاً پارامترهای بسیاری در تخمین آن مؤثر هستند. روش HFD تأثیر پارامترهای سازه‌ای مانند نوع سیستم مقاوم جانبی، تعداد طبقه، تعداد و عرض دهانه، منطقه لرزه‌خیزی، نوع خاک، لاغری مهاربندها، ممان اینرسی ستون‌ها و غیره را در برآورد ضرایب رفتار و شکل‌پذیری در نظر می‌گیرد که باعث می‌شود نتایج به واقعیت نزدیک‌تر باشند؛ بنابراین مقادیر حاصل از این تحقیق نسبت به روش‌های قبل منطقی‌تر و دارای پایه محاسباتی است و منجر به نتایج بهتری می‌شود. معیارهای جابه‌جایی نسبی و شکل‌پذیری محلی متناظر با هر سه تراز عملکرد اصلی یعنی LS، IO و CP می‌باشند و روش HFD برای همه این عملکردها طراحی را انجام می‌دهد، لیکن روش FBD تنها برای تراز عملکرد LS طراحی را انجام می‌دهد. نهایتاً این روش نسبت به روش‌های قبلی در تخمین جابه‌جایی نسبی درون طبقه و حداکثر جابه‌جایی بام، دقت بالاتری دارد.

با طی روندی مشابه مثال قبل، مقدار حداکثر جابه‌جایی هدف بام برابر با ۹cm به دست می‌آید و با قرار دادن جابه‌جایی تسلیم بام برابر با مقدار  $u_{ry} = 4\text{cm}$ ، مقدار جابه‌جایی شکل‌پذیری  $u_{rmax}(\mu) = 7\text{cm}$  حاصل می‌شود. بنابراین، مقدار حداکثر جابه‌جایی طراحی برابر ۷cm و در نهایت شکل‌پذیری تسلیم برابر با  $\mu_d = 1/68$  به دست می‌آید. با استفاده از رابطه ۱۳ مقدار ضریب رفتار برابر با ۵/۶ به دست می‌آید. با این ضریب رفتار جدید قاب بازطراحی می‌شود و چون مقادیر پارامترهای جدید بسیار نزدیک به پارامترهای اولیه است، طراحی پایان می‌یابد. نتایج حاصل از روش HFD در جدول (۱۲) آورده شده است.

جدول ۱۲ نتایج روش HFD برای قاب ۴ طبقه

نتایج	$u_{rmax}$	$IDR_{max}$	$V_b$
HFD	۹cm	۰/۶%	۹۰kN

برای مقایسه، مقادیر به دست آمده از هر دو روش FBD و HFD برای قاب ۴ طبقه در جدول (۱۳) ارائه شده است.

جدول ۱۳ مقایسه دو روش HFD و FBD برای قاب ۴ طبقه

پارامترها	$u_{rmax}(cm)$	$IDR_{max}(\%)$	$V_b(kN)$
روش FBD	۱۰	۰/۶	۸۲
روش HFD	۹	۰/۶	۹۰
تحلیل دینامیکی تاریخچه زمانی	۸/۵	۰/۶	۸۷

### مراجع

1. R. Tremblay, "Influence of Brace Slenderness on the Seismic Response of Concentrically Braced Steel Frames". Behavior of Steel Structures in Seismic Area, *Proceedings of The STESSA 2000*

- Conference*, Mazzolani F, Tremblay R (eds). Montreal, Canada, Rotterdam, Balkema, 527–534, (2000).
2. A.S. Tzimas, T.L. Karavasilis, N. Bazeos, D.E. Beskos., "A Hybrid Force/Displacement Seismic Design Method for Steel Building Frames"., *Engineering Structures* 56, pp. 1452–1463, (2013).
  3. Eurocode 8 (EC8)., Design of Structures for Earthquake Resistance. Part 1: General Rules, Seismic Actions and Rules for Buildings. Stage 51 draft, EN 1998- 1, European Committee of Standardization, Brussels, (2004).
  4. TL. Karavasilis, N .Bazeos, DE. Beskos, "Estimation of Seismic Drift and Ductility Demands in Plane Regular X-Braced Steel Frames". *Earthq Eng Struct Dynam*, 36(15):2273–89, (2007).
  5. T. L. Karavasilis, N. Bazeos, D. Beskos, "Drift and Ductility Estimates in Regular Steel MRF Subjected to Ordinary Ground Motions", *A Design-Oriented Approach*, pp. 431-451, (2007).
  6. N. Bazeos, "Comparison of Three Seismic Design Methods for Plane Steel Frames", *Soil Dynamics and Earthquake Engineering*, Vol. 29, pp. 553–562, (2009).
  7. T. Sullivan, "The Current Limitation of Displacement Based Design". Master Thesis, The European School of Advanced Studies in Reduction of Seismic Risk. (ROSE School), (2002).
  8. S. Leoding, M. J. Kowalsky, M. J. N. Priestley, "Displacement-Based Design Methodology Applied to R.C Building Frames". Structural Systems Research Report SSRP-980/06, Structures Division, University of California, San Diego, (1998).
  9. M.J.N.Priestley, D.N. Grant and C.A.Blandon, "Direct Displacement-Based Seismic Design", European School for Advanced Studies in Reduction of Seismic Risk, (Rose School) Pavia, Italy, NZSEE Conference, (2005).
  10. FEMA-356, "Prestandard and Commentary for the Seismic Rehabilitation of Buildings", Washington, D.C, Federal Emergency Management Agency, (2000).
  11. ETABS, Nonlinear version 9.7.3., "Integrated Building Design Software", Computer and Structures, (2011).
  12. SeismoStruct-v6.5, Seismo-Soft, S. Antoniou, Editor, Seismo-Soft Ltd, "A Computer Program for Static and Dynamic Nonlinear Analysis of Framed Structures" (available online), (2013).
  13. MATLAB, "The Language of Technical Computing", Version 7.6.0. The Math-works Inc.: Natick, MA, (2008).
  14. J. Kiusalaas, "Numerical Methods in Engineering with MATLAB", Published in the United States of America by Cambridge University Press, New York, pp. 27-137, (2010).
  15. ASCE, American Society of Civil Engineers Minimum Design Loads for Buildings and Other

Structures. Published by American Society of Civil Engineers 1801 Alexander Bell Drive Reston, Virginia, (2010).

16. SeismoSignal-v6.3.0, SeismoSoft, S. Antoniou, Editor, SeismoSoft Ltd. "Strong-motion data processor", (2011).

